

- [13] Wang F, Wang X, Liu L, et al. Comprehensive analysis of PTPN gene family revealing PTPN7 as a novel biomarker for immuno-hot tumors in breast cancer [J]. Front Genet, 2022, 13: 981603. DOI: 10.3389/fgene.2022.981603.
- [14] Du Z, Wang Q, Huang X, et al. Effect of berberine on spleen transcriptome and gut microbiota composition in experimental autoimmune uveitis [J]. Int Immunopharmacol, 2020, 81: 106270. DOI: 10.1016/j.intimp.2020.106270.
- [15] Guo DD, Hu B, Tang HY, et al. Proteomic profiling analysis reveals a link between experimental autoimmune uveitis and complement activation in rats [J]. Scand J Immunol, 2017, 85(5): 331–342. DOI: 10.1111/sji.12539.
- [16] Guo D, Li J, Liu Z, et al. Characterization of microRNA expression profiling in peripheral blood lymphocytes in rats with experimental autoimmune uveitis [J]. Inflamm Res, 2015, 64(9): 683–696. DOI: 10.1007/s00011-015-0848-3.

(收稿日期:2025-01-15 修回日期:2025-08-12)

(本文编辑:张宇 骆世平)

· 病例报告 ·

晶状体前长悬韧带合并 PROM1 基因突变黄斑营养不良诊疗 1 例

冯晴 李渊 王天佐 孙新成

南京医科大学附属常州市第二人民医院眼科,常州 213000

通信作者:孙新成,Email:czyedoc@163.com

基金项目:常州市高层次医学人才培养项目(2022CZBJ075)

Long anterior zonules and macular dystrophy with variants in PROM1 gene:a case report

Feng Qing, Li Yuan, Wang Tianzuo, Sun Xincheng

The Affiliated Changzhou No. 2 People's Hospital of Nanjing Medical University, Changzhou 213000, China

Corresponding author: Sun Xincheng, Email:czyedoc@163.com

Fund program: Changzhou High-Level Medical Talents Training Project (2022CZBJ075)

DOI: 10.3760/cma.j.cn115989-20241210-00344

患者男,76岁,无明显诱因下双眼渐进性视力下降3年就诊。眼科检查示:右眼视力为指数/30 cm,矫正后无提高,左眼最佳矫正视力为0.12;眼压右眼为12 mmHg(1 mmHg=0.133 kPa),左眼为16 mmHg;色觉检查显示红绿色觉异常;双眼结膜无充血,角膜透明,充分扩瞳后可见双眼晶状体混浊,前囊周边均存在细小的放射状小带向晶状体中央延伸,附着散在的色素颗粒(图1)。眼底检查示双眼视盘边界清,黄斑区片状萎缩,色素紊乱(图2A、B)。眼底自发荧光显示以黄斑为中心约1.5个视盘直径(papilla diameter, PD)范围内为低自发荧光,外周环绕着粗条带状的高自发荧光(图2C、D);光学相干断层扫描(optical coherence tomography, OCT)显示双眼视网膜下均存在沉积物,集中在黄斑周围,视网膜色素上皮结构紊乱和视网膜外层萎缩(图2E、F);荧光素眼底血管造影提示双眼黄斑区存在不规则荧光遮蔽和背景高荧光,未见荧光素渗漏(图2G、H);初步诊断为迟发性视网膜变性(late-onset retinal degeneration, L-ORD)(双眼)、白内障(双眼)、晶状体前长悬韧带(long anterior lens zonules, LAZs)(双眼)。

患者父母眼部病史不详。通过对子女进行详细的眼部检查,未发现明显异常。采集患者本人及其1子1女的外周静脉血,提取DNA进行全外显子高通量测序。结合受检者临床诊断和OMIM等数据库中基因对应疾病关系综合分析,显示患者本人及其子女均

携带PROM1 c.*580T>A, exon28(28/28)杂合变异(图3)。修正诊断为:视网膜黄斑营养不良(双眼)、白内障(双眼)、LAZs(双眼)。

患者完善术前检查,排除手术禁忌证后,先后行右眼及左眼白内障超声乳化摘除联合人工晶状体植入术。在术中予以环形撕囊时,发现悬韧带从前囊附着处断裂。术后1周复查最佳矫正视力右眼0.15,左眼0.2,人工晶状体正位,眼压右眼17 mmHg,左眼14 mmHg。术后1年复查,最佳矫正视力右眼0.1,左眼0.08;眼压右眼15 mmHg,左眼17 mmHg;眼底检查示黄斑区病变范围较前略增大,OCT显示黄斑区视网膜结构紊乱加重,视网膜下及层间高密度沉积物增多(图4)。

讨论:晶状体悬韧带通常止于距晶状体赤道(1.42±0.24)mm的前囊,平均悬韧带长约6.86 mm;悬韧带比正常长

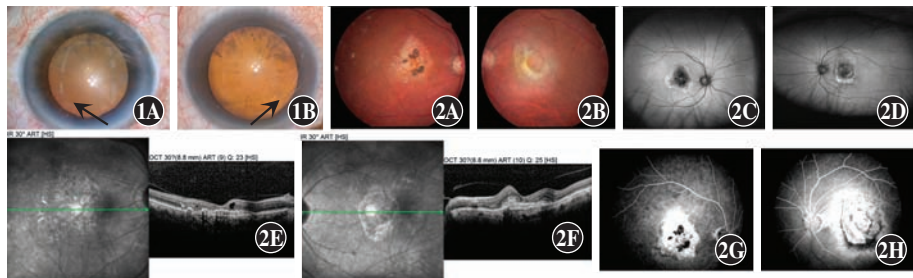


图1 患者眼前节照相 双眼充分扩瞳后可见大量放射状纤维(箭头)从晶状体前囊周围向中央延伸 A:右眼 B:左眼
图2 患者眼底多模式影像 眼底照相示双眼黄斑对称性环形萎缩灶伴色素沉着;自发荧光显示双眼以黄斑为中心周围约1.5 PD范围内为低自发荧光,外周环绕着粗条带状的高自发荧光;OCT示黄斑中心凹周围约2 PD范围内视网膜色素上皮下弥漫大量高密度沉积物,视网膜外层结构变性紊乱;荧光素眼底血管造影示黄斑周围高背景荧光,未见明显荧光素渗漏点 A、C、E、G:右眼 B、D、F、H:左眼

